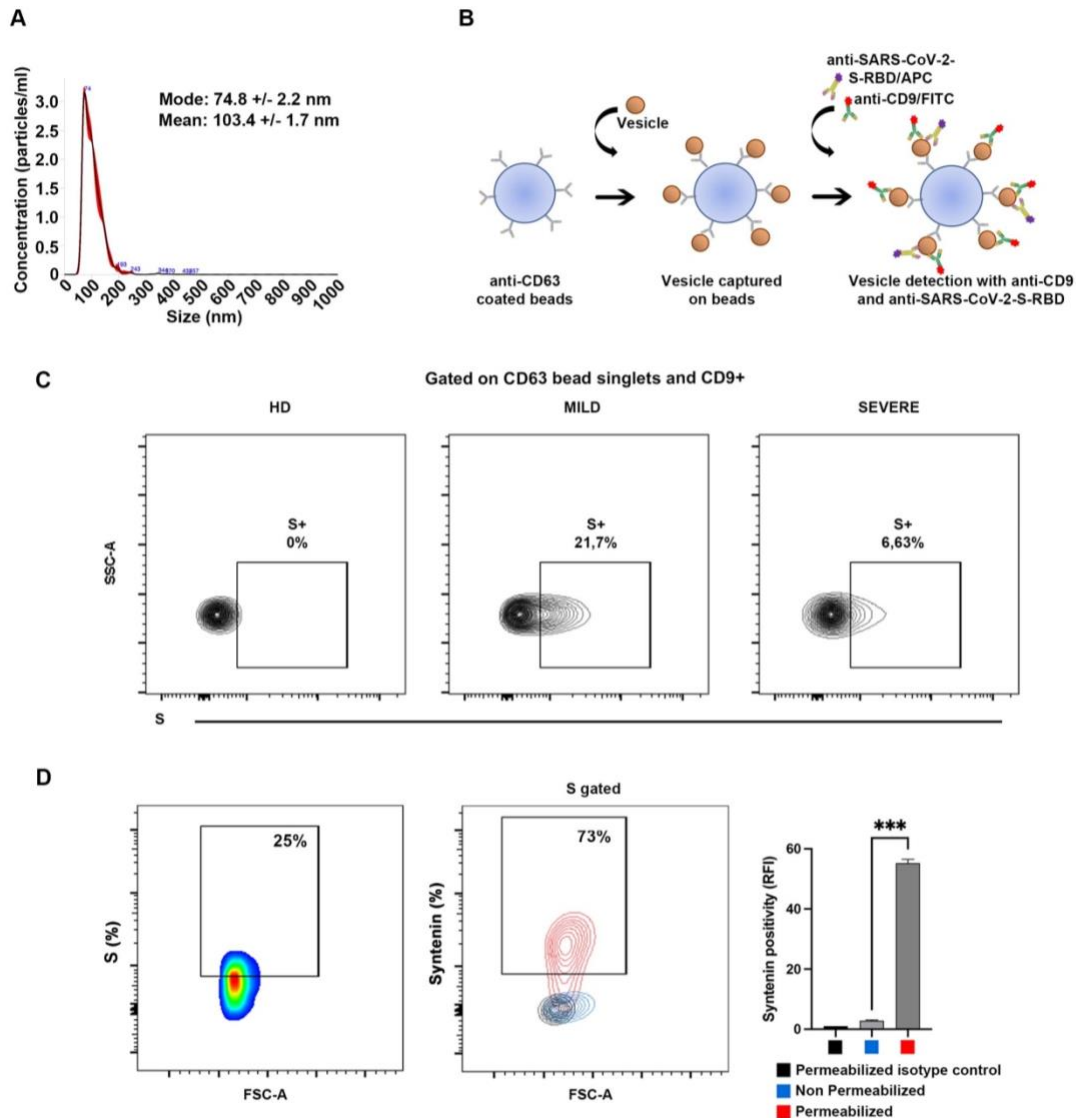


## Supplementary Material

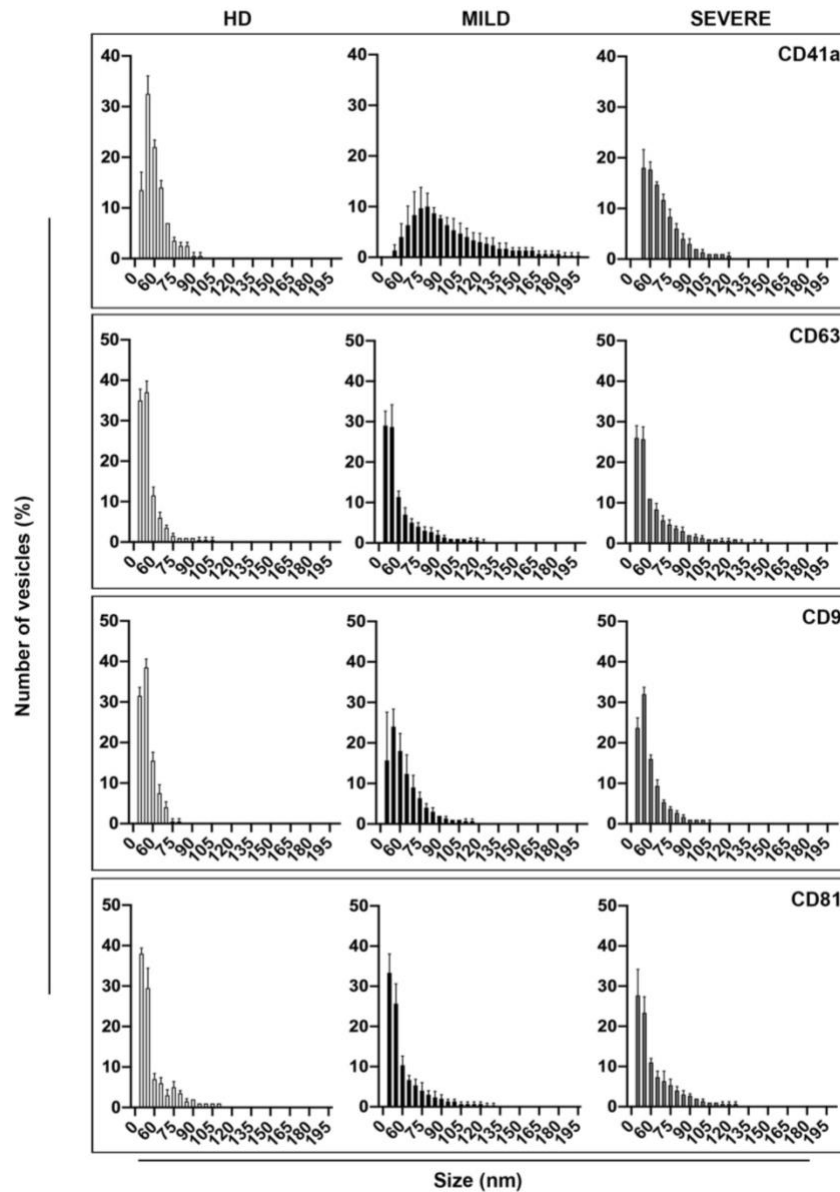
### Supplementary Figures and Tables



**Supplementary Figure 1. Characterization of plasma-recovered-exosomes from COVID-19 patients and flow cytometry detection of immunocaptured SARS-CoV-2-S+ exosomes.**

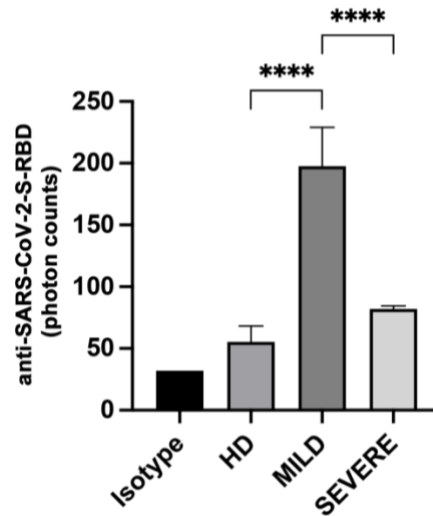
A) Representative histogram of particle concentration and size distribution of plasma-recovered exosomes measured by nanoparticle tracking analysis (NTA). B) Scheme of ELV immunocapturing and subsequent staining. Latex beads were coated with anti-CD63 antibodies and incubated with

plasma-derived ELVs. Captured ELVs were then stained with anti-CD9 and anti-SARS-CoV-2-S-RBD antibodies and subjected to flow cytometry. C) Representative flow cytometry contour plots showing CD9<sup>+</sup> ELVs stained with anti SARS-CoV-2-S-RBD antibodies. Images are representative of three independent experiments. D) Representative flow cytometry analysis showing integrity of SARS-CoV-2-S<sup>+</sup> exosomes. Exosomes were either permeabilized (red) or left untreated (blue) and syntenin levels were assessed. The graph on the right shows syntenin positivity reported in RFI (value vs isotype control), and confirms its detection only after permeabilization of exosomes.



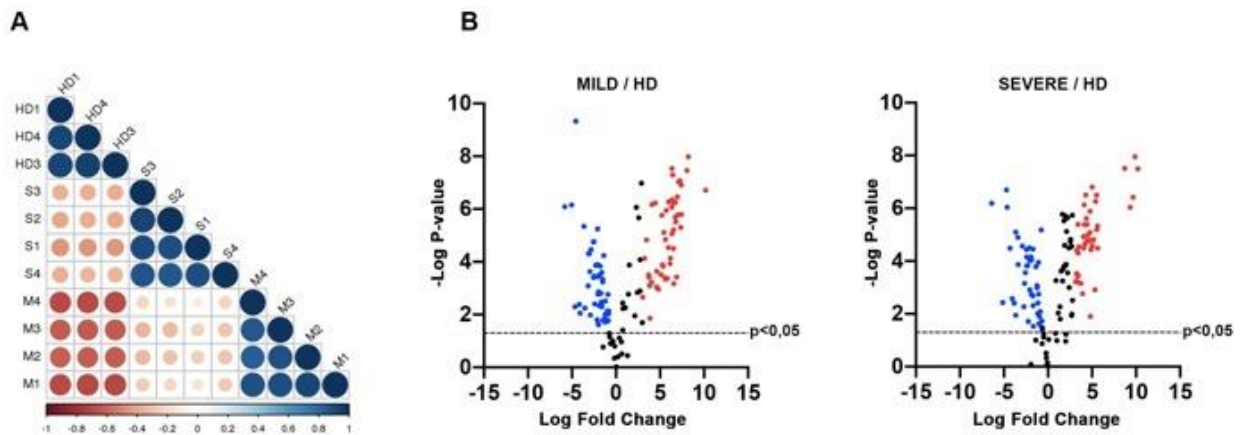
**Supplementary Figure 2. ELVs derived from the plasma of MILD and SEVERE COVID-19 patients are larger than those derived from HDs.**

Interferometric measurement of plasma-derived ELVs of HDs, MILD and SEVERE COVID-19 patients were obtained using the ExoView platform. CD9, CD63, CD81 and CD41a -positive ELVs were immuno-captured on a microarray chip and imaged. Images were then analyzed to enumerate and size the ELVs bound to each antibody spot on the chip. Vesicles were measured in a 50-200 nm diameter range.



### Supplementary Figure 3. Labeling quantification of SARS-CoV-2-S<sup>+</sup> ELVs.

Detection of SARS-CoV-2-S in bead-captured ELVs using STED microscopy as described in main Figure 2D. Quantification of immunolabelled anti-SARS-CoV-2-S-RBD\*STAR-RED photon counts was performed on n=45, n=53, n=51 beads from HD, MILD and SEVERE samples respectively (n=2 independent biological replicates). Results were compared to the Isotype\*STAR-RED signal. Bar-charts represent means  $\pm$  SEM for each sample per condition (MILD samples =197 $\pm$ 31 photons, SEVERE samples =82 $\pm$ 2 photons, HD samples= 55 $\pm$ 13 photon, unspecific isotype labelling = 32). (Paired T-test, \*\*\*\*; p < 0.0001).



**Supplementary Figure 4. The protein composition of plasma derived ELVs distinguishes between COVID-19 patients and HDs**

A) Pairwise similarity matrix between replicate ELV samples based on Spearman’s correlations. MILD: M1-4, SEVERE: S1-4 and HDs: 1,4,3. Correlation ranges from zero (no correlation; red) to one (perfect correlation; blue). B) Volcano plots showing differentially abundant proteins between either MILD (left panel) or SEVERE (right panel) COVID-19 patients and HD control ELVs. The red dots represent overexpressed proteins (51 proteins for MILD and 41 for SEVERE) while the blue dots represent downregulated proteins (51 proteins for MILD and 46 for SEVERE). Cutoffs were set at 0.05 for p-values (dashed horizontal line) and  $< -0.5$  or  $> 3$  for fold changes (FCs).

**Supplementary Table 1. Clinical Characteristics of COVID-19 patients.**

ID PATIENT	SEX	AGE	Sampling day (from positive swab)	CLASS	SUB-CLASS	Comorbidity	Respiratory support therapy	Pneumonia	Symptoms
PMI-0028	F	33	T19	Mild	acute	none	NO	NO	Fever, cough, pharyngodynia, ageusia, anosmia
PMI-0029*	F	22	T16	Mild	acute	Asthma	NO	NO	Fever, cough, headache
PMI-0032*	F	29	T14	Mild	acute	none	NO	NO	Fever, pharyngodynia
PMI-0031*	M	77	T15	Mild	acute	none	NO	NO	Fever, cough, diarrhea
PMI-0003*	M	31	T16	Mild	acute	none	NO	NO	coryza
PMI-0022	M	41	T16	Mild	acute	none	NO	NO	none
PMI-0002	M	27	T16	Mild	acute	Asthma	NO	NO	Fever, cough
PMI-0009	M	47	T14	Mild	acute	none	NO	NO	Fever, cough
PMI-0040	F	77	T16	Mild	acute	none	NO	NO	coryza
PMI-0027	F	27	T18	Mild	acute	none	NO	NO	none
PMI-0001	F	55	T6	Severe	acute	none	yes	yes	Fever, cough, dyspnea, sputum
PMI-0004*	F	37	T14	Severe	acute	GERD, obesity	yes	yes	Fever, asthenia
PMI-0005*	M	60	T17	Severe	acute	Hypertension	yes	yes	Fever, dyspnea, asthenia, loss of smell and taste
PMI-0033*	M	61	T14	Severe	acute	Hypertension	yes	yes	Fever, cough, dyspnea, respiratory failure
PMI-0034*	F	68	T14	Severe	acute	Hyperthyroidism, Budd-Chiari syndrome, polycythemia vera, myelofibrosis	yes	yes	Fever, dyspnea
PMI-0039	M	65	T14	Severe	acute	Hypertension	yes	yes	Fever, dyspnea
PMI-0052	M	72	T14	Severe	acute	none	yes	yes	Fever, cough, dyspnea
PMI-0044	M	64	T14	Severe	acute	Hypertension	yes	yes	Fever, dyspnea
PMI-0010	F	78	T2	Severe	acute	Hypertension, diabetes	yes	yes	Fever, cough, diarrhea, vomiting
PMI-0045	M	83	T14	Severe	acute	Ischemic heart disease	yes	yes	Fever, cough, dyspnea

**Supplementary Table 2. Proteomic data from plasma-derived exosome-like vesicles of healthy donors and MILD and SEVERE COVID-19 patients.**

Gene names	Protein name	S_1	S_4	S_3	S_2	M_4	M_3	M_2	M_1	HD_4	HD_3	HD_1	CLU
KNG1	Kininogen -1	-1,02	-0,79	-0,37	-0,21	-0,24	-0,26	-0,33	-0,70	2,53	0,56	0,84	1
HPR	Haptoglobin-related protein	-0,75	0,00	-0,05	-0,42	-1,30	-0,34	-0,06	-0,86	2,35	1,00	0,43	1
APOA1	Apolipoprotein A1	-0,84	-0,61	-0,67	-0,68	-0,44	-0,25	-0,43	-0,66	1,68	1,66	1,25	1
CFH	Complement Factor H	-0,79	-0,59	-0,61	-0,73	-0,59	-0,37	-0,47	-0,48	1,61	1,58	1,44	1
A2M	Alpha-2-Macroglobulin	-0,73	-0,52	-0,52	-0,55	-0,66	-0,55	-0,55	-0,57	1,75	1,55	1,35	1
APCS	Serum amyloid P-component	-0,51	-0,42	-0,57	-0,64	-0,44	-0,46	-0,43	-0,44	1,79	1,73	1,76	1
ZC4H2	Zinc finger C4H2 domain-containing protein	-0,63	-0,58	-0,45	-0,87	-0,66	-0,44	-0,45	-1,08	1,52	1,37	0,98	1
IGHG2	Immunoglobulin Heavy Constant Gamma 2	-0,99	-0,84	-0,62	-0,94	-0,36	0,24	-0,31	-0,53	1,62	1,60	1,14	1
IGHA1	Ig alpha-1 chain Immunoglobulin Heavy Constant Alpha 1C region	-0,56	-0,24	-0,26	-0,38	-0,74	-0,98	-0,56	-0,81	1,70	1,55	1,29	1
C3	Complement C3	-0,40	-0,20	-0,33	-0,24	-0,89	-0,78	-0,76	-0,89	1,79	1,47	1,22	1
APOA2	Apolipoprotein A-II	-0,39	-0,20	-0,29	-0,45	-0,97	-0,73	-0,26	-1,12	1,67	1,62	1,13	1
SERPINA1	Serpin Family A Member 1	-0,32	-0,05	-0,03	-0,26	-0,78	-0,84	-0,87	-1,13	1,86	1,41	1,01	1
IGLC6;IGLC7	Immunoglobulin Lambda Constant 6;7	-0,93	-0,87	-0,26	-0,22	-0,15	-0,79	-0,02	-1,02	1,76	1,68	0,81	1
ITIH4	Inter-alpha-trypsin inhibitor heavy chain 4	-0,85	-0,66	-0,49	-0,53	-0,36	-0,52	-0,41	-0,49	1,91	1,91	0,50	1
CP	Ceruloplasmin	-0,55	-0,49	-0,82	-0,64	-0,41	-0,63	-0,33	-0,44	1,98	1,83	0,48	1

## Supplementary Material

ITIH2	Inter-Alpha-Trypsin Inhibitor Heavy Chain 2	-0,95	-0,82	-0,87	-0,68	-0,28	-0,33	-0,10	-0,11	1,86	1,83	0,44	1
SERPING1	Plasma protease C1 inhibitor	-0,86	-0,64	-0,81	-0,93	-0,57	-0,21	-0,50	-0,43	1,79	1,36	0,56	1
HP	Haptoglobin	-0,83	-0,38	-0,22	-0,48	-0,98	-0,31	-0,53	-0,59	1,94	1,76	0,62	1
C9	Complement component C9	-0,39	0,02	-0,95	-0,28	-0,88	-0,71	-0,48	-0,50	1,97	1,73	0,47	1
CFB	Complement factor B	-0,82	-0,73	-0,67	-0,80	-0,46	-0,16	-0,18	-0,29	1,15	2,39	0,57	1
IGHV3OR16-9;IGHV3-72;IGHV3-73;IGHV3-15	Immunoglobulin Heavy Variable	-0,64	-1,36	-1,16	-0,88	-0,36	-0,47	-0,46	-0,15	0,96	0,97	1,23	1
IGKV3D-11;IGKV3D-15;IGKV3OR2-268;IGKV3D-7	Immunoglobulin Kappa Variable	-1,01	-0,59	-0,69	-0,62	-0,69	-0,48	0,29	-0,39	1,52	0,65	2,02	1
ITIH1	Inter-alpha-trypsin inhibitor heavy chain H1	-0,67	-0,51	-0,74	-0,45	-0,20	-0,19	-0,13	-0,24	2,79	0,71	-0,36	1
JCHAIN;IGJ	Immunoglobulin J chain	-1,16	-0,69	-0,74	-0,57	-0,12	-0,63	0,11	0,17	2,01	1,35	0,14	1
APOH	Apolipoprotein H	-1,41	-0,98	-1,07	-1,08	0,21	0,55	0,18	0,20	1,45	1,36	0,60	2
IGKC	Immunoglobulin Kappa Constant	-1,38	-0,99	-1,05	-0,98	0,15	0,40	0,44	0,12	1,69	1,31	0,30	2
IGKV2-40;IGKV2D-28;IGKV A18;IGKV2D-26;IGKV2D-30;IGKV2D-29	Immunoglobulin Kappa Variable	-1,39	-0,92	-1,12	-1,22	0,08	0,47	0,45	0,29	1,45	1,08	0,83	2



L1TD1	LINE-1 type transposase domain-containing protein 1	-1,35	-1,21	-1,08	-1,22	0,41	0,71	0,62	0,34	1,11	1,20	0,47	2
TF	Serotransferrin	-1,28	-1,06	-1,03	-1,13	0,14	0,18	0,24	0,15	1,29	1,34	1,15	2
IGHM	Immunoglobulin Heavy Constant Mu	-1,60	-0,78	-0,97	-0,99	0,19	0,61	0,69	0,31	1,87	0,67	-0,01	2
LIMS1	LIM Zinc Finger Domain Containing 1	-1,30	-0,97	-1,18	-1,22	0,07	0,40	1,07	0,12	1,32	0,88	0,81	2
AZGP1	Zinc-alpha-2-glycoprotein	-1,49	-1,74	-1,26	-1,47	0,13	0,94	0,45	0,40	0,77	0,84	0,81	2
TTR	Transthyretin	-1,20	-0,97	-0,92	-0,81	0,26	0,11	0,60	-0,54	1,15	1,45	0,99	2
IGHG1	Ig gamma-1 chain C region	-1,35	-0,98	-0,95	-0,79	0,46	-0,56	0,38	-0,02	1,00	1,67	1,12	2
HNRNPK	Heterogeneous nuclear ribonucleoprotein K	0,81	0,67	0,67	0,52	-1,52	-0,44	-0,61	-1,29	1,33	0,71	0,50	3
OPTN	Optineurin	0,36	0,87	0,63	0,75	-1,24	-1,11	-1,22	-1,13	1,28	0,98	-0,17	3
AGT	Angiotensinogen	0,62	0,41	0,63	0,84	-1,25	-0,93	-1,19	-1,30	1,08	1,27	-0,19	3
APOM	Apolipoprotein M	0,72	0,87	0,63	0,52	-1,42	-1,25	-0,81	-1,43	0,70	1,05	0,41	3
CLU	Clusterin	0,16	0,60	0,43	0,23	-1,07	-1,20	-1,02	-1,32	1,31	1,44	0,44	3
APOB	Apolipoprotein B	0,50	0,70	0,65	0,62	-1,38	-1,16	-1,09	-1,30	1,19	0,83	0,45	3
C4B;C4A	Complement C4-B; C4-A	0,22	0,55	0,53	0,54	-1,17	-0,99	-1,32	-1,36	1,14	1,16	0,70	3
CHMP4A	Charged Multivesicular Body Protein 4A	0,66	0,37	0,40	0,18	-1,34	-1,57	-1,26	-1,39	1,13	0,50	0,93	3
APOC1	Apolipoprotein C-I	0,18	0,33	0,57	0,37	-0,80	-0,87	-1,01	-1,84	1,50	0,95	0,64	3
SERPINA3	Serpin Family A Member 3	0,15	-0,02	0,71	0,08	-1,12	-1,40	-0,77	-1,11	1,50	1,32	0,66	3
APOA4	Apolipoprotein A-IV	-0,01	0,22	0,19	0,13	-1,11	-0,99	-1,10	-1,20	1,36	1,37	1,15	3
APOD	Apolipoprotein D	-0,01	0,22	0,20	-0,15	-1,26	-0,84	-0,75	-1,32	1,53	1,43	0,96	3

## Supplementary Material

PON1	Serum paraoxonase/arylesterase 1	0,07	0,40	0,17	0,25	-1,43	-1,03	-0,68	-1,19	0,65	1,86	0,93	3
APOL1	Apolipoprotein L1	-0,22	0,61	-0,26	0,12	-1,06	-0,83	-0,34	-1,29	1,25	2,08	-0,07	3
C4BPA	Component 4 Binding Protein Alpha	-0,92	0,22	0,28	0,67	-0,85	-1,09	-0,52	-1,29	1,71	0,54	1,24	3
PCYOX1	Prenylcysteine oxidase 1	-0,07	-0,49	-0,07	-0,01	-0,42	-0,35	-0,59	-0,34	0,69	0,72	0,39	3
APOC3	Apolipoprotein C-III	0,35	0,45	0,52	0,37	0,09	-0,93	-0,37	-0,79	0,69	0,84	0,50	3
VWF	von Willebrand factor	1,14	1,35	1,20	1,24	-0,71	-0,55	-0,50	-0,45	-0,59	-0,96	-1,17	4
FCN2	Ficolin-2	0,87	1,61	0,44	1,44	-0,26	-0,13	-0,51	-0,94	-0,30	-0,57	-1,65	4
SAA2-SAA4;SAA4	Serum amyloid A-4 protein	0,97	1,13	1,15	1,00	-0,35	-0,23	-0,69	-0,25	-0,27	-2,14	-0,33	4
SNX25	Sorting nexin-25	0,35	1,09	1,58	0,86	-1,15	-0,73	-1,40	-1,23	0,14	0,32	0,17	4
FNBP4	Formin-binding protein 4	0,92	1,14	1,09	1,01	-1,26	-0,94	-1,14	-1,24	0,17	0,51	-0,24	4
APOC4-APOC2;APOC 2	Apolipoprotein C-II;Proapolipoprotein C-II	1,02	1,39	1,34	1,05	-0,85	-0,75	-0,98	-1,21	-0,23	-0,14	-0,63	4
APOE	Apolipoprotein E	1,15	1,41	1,27	1,08	-0,88	-0,82	-0,72	-0,97	-0,28	-0,36	-0,88	4
LBP	Lipopolysaccharide-binding protein	1,04	1,25	1,20	1,20	-0,91	-1,10	-1,03	-1,11	-0,01	-0,17	-0,36	4
LPA	Lipoprotein(A)	1,28	1,22	1,15	1,12	-0,79	-1,34	-0,89	-0,89	-0,14	-0,30	-0,42	4
SAA1;SAA2	Serum amyloid A-1; A-2 protein	1,06	1,03	1,02	1,02	-1,14	-1,14	-1,13	-1,14	-0,49	-0,63	-0,72	4
HELZ	Helicase with zinc finger domain	0,38	0,11	1,83	1,43	-0,99	-1,33	-0,99	-0,66	-0,28	-0,42	-0,07	4
CD9	CD9 antigen	-0,22	0,04	-0,11	-0,06	0,90	1,10	1,21	1,10	-1,19	-1,40	-1,37	5
PF4;PF4V1	Platelet Factor 4	-0,19	-0,07	0,06	-0,05	0,98	1,21	1,18	0,86	-1,30	-1,12	-1,57	5

F11R	Junctional adhesion molecule A	0,15	-0,20	0,14	-0,28	1,02	1,03	1,14	1,00	-1,19	-1,34	-1,49	5
PARVB	Beta-parvin	0,15	-0,22	-0,19	0,26	0,96	1,09	1,05	0,98	-1,20	-1,24	-1,63	5
PPBP	Platelet basic protein	-0,42	-0,42	-0,32	-0,37	0,99	1,03	1,25	1,01	-1,30	-1,44	-1,37	5
ITGA6	Integrin alpha-6	-0,46	-0,23	-0,25	0,26	0,60	1,18	1,37	1,21	-1,08	-1,18	-1,40	5
SNAP23	Synaptosomal-associated protein 23	0,22	-0,17	-0,19	-0,23	0,67	0,81	0,73	1,39	-1,45	-1,78	-1,61	5
CD36	CD36 antigen	-0,35	-0,49	-0,54	0,29	1,29	1,13	1,11	1,03	-1,13	-1,20	-1,15	5
PECAM1	Platelet endothelial cell adhesion molecule	-0,34	0,13	-0,32	-0,21	0,72	0,66	1,31	1,12	-1,34	-1,53	-1,72	5
YWHAG	14-3-3 protein gamma	-0,21	-0,08	-0,16	-0,11	0,96	0,54	1,17	1,09	-1,48	-1,72	-1,60	5
ITGB1	Integrin beta-1	-0,05	-0,17	0,17	-0,04	1,15	0,39	1,29	1,20	-1,09	-1,19	-1,66	5
GNAI2;GNAS;GNAT2;GNAO1;GNAL;GNAT1;GNAI1;GNAT3;GNAI3	G Protein Subunit Alpha	0,11	0,03	-0,03	-0,03	1,04	0,44	1,27	1,20	-0,95	-1,41	-1,66	5
GNB4;GNB3;GNB2;GNB1	G Protein Subunit Beta	-0,13	0,02	-0,03	-0,07	1,21	0,55	1,61	1,47	-1,01	-1,22	-1,20	5
RSU1	Ras suppressor protein 1	-0,03	0,14	0,05	0,08	0,81	0,88	0,91	0,70	-1,74	-1,76	-1,79	5
TPM1	Tropomyosin alpha-1 chain	0,07	0,09	-0,09	-0,04	0,75	0,94	0,98	0,75	-1,64	-1,83	-1,73	5
GP1BA	Glycoprotein Ib Platelet Subunit Alpha	0,07	0,15	0,15	0,11	0,72	0,76	0,81	0,82	-1,60	-1,99	-1,79	5
HLA-B;HLA-C;HLA-A	HLA class I histocompatibility antigen, B-7 alpha chain	0,30	0,04	0,44	0,21	1,04	0,09	1,14	1,05	-1,26	-1,47	-1,56	5

Supplementary Material

ALDOA	Fructose-bisphosphate aldolase A	0,11	-0,13	0,28	0,31	0,39	0,83	0,96	0,82	-1,86	-1,78	-1,70	5
GP1BB	Platelet glycoprotein in Ib beta chain	0,16	0,30	0,22	0,28	0,80	0,85	0,95	0,91	-1,42	-1,47	-1,58	5
VCL	Vinculin	0,18	0,26	0,16	0,23	0,82	1,00	0,94	0,84	-1,51	-1,35	-1,57	5
FERMT3	Fermitin family member 3	0,11	0,23	0,26	0,30	0,89	0,69	0,99	0,98	-1,42	-1,53	-1,50	5
GP9	Platelet glycoprotein in IX	0,16	0,38	0,24	0,14	0,80	0,88	0,93	0,92	-1,41	-1,64	-1,40	5
PPIA	Peptidyl-prolyl isomerase A	0,21	0,32	0,30	0,29	0,79	0,88	0,90	0,82	-1,41	-1,56	-1,55	5
ACTB;ACTG1	Actin Beta	0,16	0,31	0,24	0,24	0,79	0,92	0,93	0,88	-1,34	-1,53	-1,59	5
YWHAZ	14-3-3 protein zeta/delta	0,18	0,37	0,30	0,29	0,79	0,84	0,91	0,81	-1,35	-1,42	-1,73	5
FLNA	Filamin-A	0,18	0,43	0,26	0,29	0,81	0,84	0,88	0,81	-1,40	-1,33	-1,76	5
PFN1	Profilin-1	0,26	0,36	0,38	0,35	0,81	0,82	0,86	0,72	-1,37	-1,47	-1,71	5
TUBA1A;TUBA1B;TUBA1C;TUBA3E	Tubulin alpha-1A; 1B; 1C; 3E chain	0,32	0,45	0,02	0,32	0,81	0,80	0,93	0,85	-1,47	-1,55	-1,47	5
ITGA2B	Integrin alpha-IIb	0,05	0,15	0,15	0,13	0,92	0,96	1,02	0,94	-1,30	-1,43	-1,58	5
ITGB3	Integrin Subunit Beta 3	0,10	0,16	0,19	0,13	0,96	0,90	0,99	0,91	-1,45	-1,38	-1,54	5
RAB1B;RAB1A;RAB15;RAB8B;RAB1C;RAB13;RAB8A	Member RAS Oncogene Family	0,05	0,10	0,13	0,10	0,85	1,02	1,05	0,96	-1,16	-1,48	-1,63	5
RAP1B;RAP1A	Member RAS Oncogene Family	0,07	0,20	0,15	0,17	0,95	0,85	1,04	0,92	-1,27	-1,46	-1,62	5
SDPR	Serum deprivation response protein	0,32	0,03	0,28	-0,09	1,02	1,13	0,45	0,36	-1,62	-1,88	-1,75	5
CFL1	Cofilin-1	0,26	0,32	0,31	0,29	0,76	0,75	0,83	0,87	-2,06	-0,97	-1,36	5

F13A1	Coagulation factor XIII A chain	0,22	0,04	0,42	0,42	0,48	1,37	0,88	0,56	-1,36	-1,46	-1,57	5
FCN3	Ficolin-3	0,46	0,56	0,56	0,52	0,65	0,61	0,67	0,63	-1,51	-1,47	-1,68	5
B2M	Beta-2-microglobulin	0,42	0,42	0,37	0,36	0,44	0,52	1,15	0,85	-1,44	-1,37	-1,71	5
TLN1	Talin-1	0,22	0,17	0,25	0,12	0,76	0,81	1,07	0,98	-1,35	-1,35	-1,69	5
MSN	Moesin	-0,13	-0,04	-0,12	-0,10	0,78	0,63	0,64	1,48	-2,01	-1,13	-1,57	5
PKM	Pyruvate Kinase M1/2	-0,63	0,03	0,72	0,77	0,52	0,57	1,39	0,68	-1,39	-1,40	-1,26	5
YWHAH	14-3-3 protein eta	0,26	-0,07	0,31	0,37	0,36	0,39	1,00	0,85	-1,11	-2,34	-1,73	5
FCER1G	High affinity immunoglobulin epsilon receptor subunit gamma	-0,13	-0,22	-0,30	-0,33	2,23	0,92	0,01	0,87	-0,90	-1,00	-1,17	5
HSPA7;HSPA6	Putative heat shock 70 kDa protein 7	0,05	0,31	0,15	0,10	1,79	0,50	0,53	0,66	-1,38	-1,61	-1,09	5
CALM2;CALM1;CALM3;CALML3	Calmodulin-like protein 3	-0,34	0,26	-0,32	0,08	1,73	0,43	0,73	0,49	-1,44	-1,44	-1,63	5
YWHAE	14-3-3 protein epsilon	-0,14	0,19	-0,22	-0,03	0,23	0,79	0,88	0,73	-2,00	-2,43	-2,22	5
CORO1A	Coronin-1A	0,02	0,21	0,20	0,02	0,43	0,48	0,64	0,60	-2,80	-2,59	-3,00	5
CORO1C	Coronin-1C	-0,41	-0,03	0,19	-0,22	0,63	0,99	0,72	0,50	-2,50	-2,37	-2,43	5
ENO1	Enolase	-0,46	-0,31	-0,48	-0,27	0,77	0,97	0,99	0,83	-2,00	-2,00	-2,05	5
YWHAQ	14-3-3 protein theta	-0,33	-0,23	-0,38	-0,38	0,40	0,56	1,76	0,53	-1,92	-2,00	-1,80	5
HSPA8;HSPA2	Heat shock cognate 71 kDa protein	-0,22	-0,07	-0,05	-0,19	0,55	0,93	1,00	1,40	-2,27	-0,37	-0,71	5
FYB	FYN-binding protein 1	-0,68	-0,68	-0,74	-0,75	0,28	1,30	1,28	1,12	-1,00	-1,00	-1,13	5
CD47	Leukocyte surface antigen CD47	-0,83	-0,61	-0,65	-0,27	0,71	1,41	0,57	1,17	-1,50	-1,00	-1,25	5

## Supplementary Material

<b>RGS10</b>	<b>Regulator of G-protein signaling 10</b>	-0,48	-0,31	-0,35	-0,57	0,95	0,95	0,31	0,12	-0,46	-0,75	-1,04	5
<b>CLIC1</b>	<b>Chloride intracellular channel protein 1</b>	-0,20	-1,64	-0,04	-0,12	1,13	0,50	0,45	1,28	-1,38	-1,38	-1,38	5
<b>FGB</b>	<b>Fibrinogen beta chain</b>	0,76	0,87	0,86	0,78	0,36	0,32	0,33	0,28	-1,55	-1,55	-1,46	6
<b>FGG</b>	<b>Fibrinogen gamma chain</b>	0,73	0,81	0,79	0,74	0,36	0,39	0,41	0,37	-1,51	-1,50	-1,59	6
<b>FGA</b>	<b>Fibrinogen alpha chain</b>	0,74	0,80	0,78	0,75	0,42	0,37	0,35	0,39	-1,45	-1,56	-1,59	6
<b>C1R</b>	<b>Complement C1r</b>	0,75	0,80	1,09	0,67	0,56	0,24	0,26	-0,02	-1,32	-1,05	-1,97	6
<b>VCP</b>	<b>Valosin Containing Protein</b>	0,78	0,92	1,03	1,28	0,10	0,20	-0,21	0,03	-1,34	-1,57	-1,22	6
<b>F5</b>	<b>Coagulation factor V</b>	0,70	1,05	1,03	1,00	0,00	0,21	0,13	0,17	-1,18	-1,43	-1,68	6
<b>LGALS3BP</b>	<b>Galectin-3-binding protein</b>	0,60	0,82	0,90	0,79	-0,45	-0,43	0,97	0,83	-1,18	-1,28	-1,57	6
<b>HLA-G</b>	<b>Major Histocompatibility Complex, Class I, G</b>	-1,20	-0,53	-1,08	-0,84	-0,14	0,75	1,63	0,75	1,01	0,47	0,68	7
<b>DCD</b>	<b>Dermcidin</b>	-1,43	-1,17	-1,49	-1,63	0,17	1,18	1,18	1,17	0,15	0,13	0,60	7
<b>ZNF585B</b>	<b>Zinc Finger Protein 585B</b>	-0,79	0,12	-0,85	-2,09	-0,31	1,40	1,19	0,70	0,34	0,40	-0,11	7
<b>HBA1</b>	<b>Hemoglobin subunit alpha</b>	-1,02	-1,02	-1,00	-1,18	0,87	1,06	1,01	1,60	0,05	-0,11	-0,25	7
<b>HBB;HBD</b>	<b>Hemoglobin subunit beta; delta</b>	-1,00	-0,90	-1,11	-1,18	0,79	1,26	1,10	1,31	0,29	0,03	-0,58	7
<b>RGS12</b>	<b>Regulator of G-protein signaling 12</b>	-0,94	-0,48	-0,69	-0,84	1,06	1,66	1,02	1,25	0,05	-0,61	-1,27	7
<b>PRSS3</b>	<b>Serine Protease 3</b>	-1,05	-0,52	-1,03	-1,59	0,99	1,46	0,98	0,01	-0,15	-0,25	-0,05	7